



NATA LIGHTING CO.,LTD.
www.nata.cn
Email:info@nata.com
Tel:+86-750-3770000 Fax:+86-750-3771111
Address:380JinOu Road,GaoXin Zone,Jiang Men City,Guangdong,China

NT

Client:

LumCAT: 2-2640-L

Luminaire: 92.70.412.00

Report No: 20231116-B015

Ballast type: AC

Test No: 20231116-C015

Voltage(V): 34.640

LampCAT: Fortimo_SLM_C_1210

Current(A): 0.720

Lamp flux(lm): 4030.4

Power (W): 24.940

Number of Lamps: 1

PF: 0.000

Length(mm): 0

Width(mm): 0

Phm Type: C

Height(mm): 0

Photometric Results

Lumens(lm): 3700.20, Efficiency(%): 91.81% , Luminous Efficacy(lm/W): 148.36

Central intensity(cd): 10443.290, Maximum intensity(cd): 10443.290

Angle of maximum intensity: C=0.0 γ =0.0

Beam Angle(50%Imax): [C0/180]Total=27.6

[C90/270]Total=27.6

Field angle(10%Imax): [C0/180]Total=63.4

[C90/270]Total=63.4

Maximum s/h(1/2): C0_180=0.45 C90_270=0.45

Maximum s/h(1/4): C0_180=0.52 C90_270=0.52

Up flux rate of lamp(%): 0.00%

Down flux rate of lamp(%): 91.81%

Up flux rate of LUM(%): - -

Down flux rate of LUM(%): 100.00%

CIE Type : Direct lighting

Output flux ratio in π solid angle : 97.851%

$\gamma(^{\circ})$	Average I(cd)	Zonal F(lm)	Sum F(lm)	Eff Flux(%)	Eff Sum(%)
0.0	10443.287	0.000	0	0.00%	0.00%
1.0	10388.279	9.968	9.968	0.25%	0.27%
2.0	10223.741	29.584	39.552	0.73%	1.07%
3.0	9997.345	48.362	87.914	1.20%	2.38%
4.0	9686.534	65.888	153.802	1.63%	4.16%
5.0	9334.969	81.830	235.632	2.03%	6.37%
6.0	8912.206	95.894	331.526	2.38%	8.96%
7.0	8420.459	107.584	439.109	2.67%	11.87%
8.0	7938.675	117.079	556.188	2.90%	15.03%
9.0	7410.117	124.394	680.582	3.09%	18.39%
10.0	6935.806	129.825	810.407	3.22%	21.90%
11.0	6449.317	133.745	944.152	3.32%	25.52%
12.0	5972.653	135.790	1079.942	3.37%	29.19%
13.0	5525.812	136.458	1216.4	3.39%	32.87%
14.0	5127.127	136.357	1352.756	3.38%	36.56%
15.0	4730.588	135.331	1488.088	3.36%	40.22%
16.0	4345.119	132.985	1621.072	3.30%	43.81%
17.0	4030.988	130.438	1751.511	3.24%	47.34%
18.0	3707.584	127.592	1879.103	3.17%	50.78%
19.0	3427.357	124.133	2003.236	3.08%	54.14%
20.0	3163.389	120.629	2123.865	2.99%	57.40%
21.0	2915.405	116.725	2240.59	2.90%	60.55%
22.0	2695.167	112.747	2353.337	2.80%	63.60%
23.0	2497.208	108.950	2462.287	2.70%	66.54%
24.0	2310.252	105.108	2567.396	2.61%	69.39%
25.0	2134.435	101.062	2668.458	2.51%	72.12%
26.0	1966.091	96.793	2765.251	2.40%	74.73%
27.0	1797.331	92.073	2857.324	2.28%	77.22%
28.0	1635.353	86.908	2944.233	2.16%	79.57%
29.0	1420.110	79.940	3024.172	1.98%	81.73%
30.0	1252.880	72.170	3096.342	1.79%	83.68%
31.0	1141.972	66.645	3162.988	1.65%	85.48%
32.0	999.008	61.337	3224.324	1.52%	87.14%
33.0	851.553	54.518	3278.842	1.35%	88.61%
34.0	721.147	47.595	3326.437	1.18%	89.90%
35.0	601.756	41.084	3367.521	1.02%	91.01%
36.0	494.356	34.900	3402.422	0.87%	91.95%
37.0	405.112	29.336	3431.757	0.73%	92.75%

$\gamma(^{\circ})$	Average I(cd)	Zonal F(lm)	Sum F(lm)	Eff Flux(%)	Eff Sum(%)
38.0	325.908	24.400	3456.158	0.61%	93.40%
39.0	265.427	20.184	3476.342	0.50%	93.95%
40.0	234.319	17.429	3493.771	0.43%	94.42%
41.0	179.491	14.736	3508.507	0.37%	94.82%
42.0	137.796	11.528	3520.034	0.29%	95.13%
43.0	117.211	9.446	3529.481	0.23%	95.39%
44.0	101.775	8.265	3537.746	0.21%	95.61%
45.0	89.867	7.365	3545.111	0.18%	95.81%
46.0	80.941	6.680	3551.791	0.17%	95.99%
47.0	73.814	6.155	3557.946	0.15%	96.16%
48.0	68.203	5.741	3563.687	0.14%	96.31%
49.0	63.650	5.415	3569.101	0.13%	96.46%
50.0	60.142	5.161	3574.262	0.13%	96.60%
51.0	57.236	4.966	3579.229	0.12%	96.73%
52.0	55.167	4.823	3584.052	0.12%	96.86%
53.0	53.541	4.729	3588.781	0.12%	96.99%
54.0	52.219	4.661	3593.442	0.12%	97.11%
55.0	51.216	4.617	3598.059	0.11%	97.24%
56.0	50.344	4.589	3602.648	0.11%	97.36%
57.0	49.500	4.565	3607.214	0.11%	97.49%
58.0	48.614	4.537	3611.751	0.11%	97.61%
59.0	47.549	4.496	3616.246	0.11%	97.73%
60.0	46.276	4.433	3620.679	0.11%	97.85%
61.0	44.463	4.330	3625.009	0.11%	97.97%
62.0	42.567	4.194	3629.203	0.10%	98.08%
63.0	40.380	4.034	3633.237	0.10%	98.19%
64.0	38.159	3.854	3637.091	0.10%	98.29%
65.0	35.966	3.668	3640.759	0.09%	98.39%
66.0	33.814	3.482	3644.241	0.09%	98.49%
67.0	31.835	3.301	3647.542	0.08%	98.58%
68.0	30.022	3.134	3650.675	0.08%	98.66%
69.0	28.618	2.992	3653.667	0.07%	98.74%
70.0	27.372	2.876	3656.542	0.07%	98.82%
71.0	26.411	2.780	3659.322	0.07%	98.90%
72.0	25.518	2.700	3662.022	0.07%	98.97%
73.0	24.722	2.627	3664.65	0.07%	99.04%
74.0	23.954	2.559	3667.209	0.06%	99.11%
75.0	23.221	2.493	3669.701	0.06%	99.18%

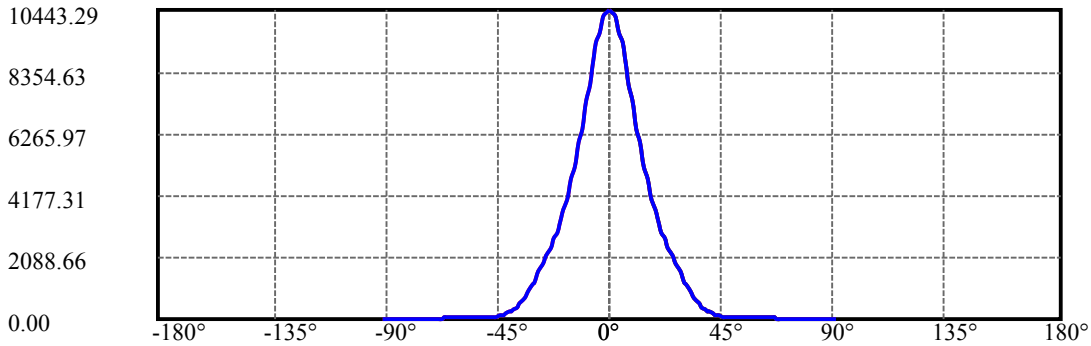
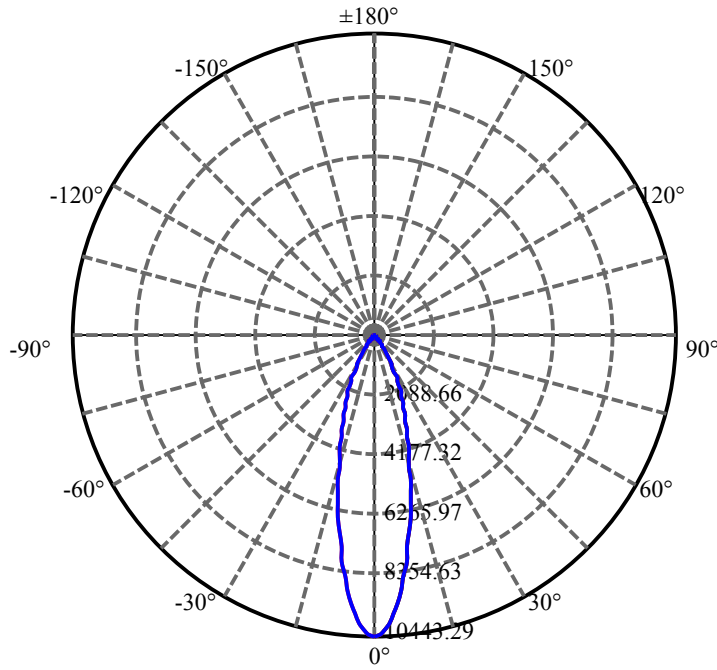
$\gamma(^{\circ})$	Average I(cd)	Zonal F(lm)	Sum F(lm)	Eff Flux(%)	Eff Sum(%)
76.0	22.557	2.430	3672.131	0.06%	99.24%
77.0	21.865	2.368	3674.5	0.06%	99.31%
78.0	21.187	2.305	3676.804	0.06%	99.37%
79.0	20.578	2.244	3679.048	0.06%	99.43%
80.0	19.955	2.185	3681.233	0.05%	99.49%
81.0	19.360	2.126	3683.359	0.05%	99.54%
82.0	18.779	2.068	3685.428	0.05%	99.60%
83.0	18.204	2.010	3687.438	0.05%	99.66%
84.0	17.713	1.957	3689.395	0.05%	99.71%
85.0	17.236	1.907	3691.302	0.05%	99.76%
86.0	16.807	1.861	3693.163	0.05%	99.81%
87.0	16.426	1.819	3694.982	0.05%	99.86%
88.0	16.011	1.777	3696.759	0.04%	99.91%
89.0	15.651	1.735	3698.494	0.04%	99.95%
90.0	15.499	1.708	3700.202	0.04%	100.00%

ZONAL LUMEN SUMMARY

Zone	Lumens	%Lamp	%Fixt
0-30	3096.34	76.82%	83.68%
0-40	3493.77	86.69%	94.42%
0-60	3620.68	89.83%	97.85%
0-90	3698.49	91.76%	99.95%
0-120	3698.49	91.76%	99.95%
0-180	3700.20	91.81%	100.00%
60-90	77.82	1.93%	2.10%
90-120	0.00	0.00%	0.00%
90-130	0.00	0.00%	0.00%
90-150	0.00	0.00%	0.00%
90-180	0.00	0.00%	0.00%
0-28.20	2960.16	73.45%	80.00%

ZONAL LUMEN SUMMARY

0-10	810.41
10-20	1313.46
20-30	972.48
30-40	397.43
40-50	80.49
50-60	46.42
60-70	35.86
70-80	24.69
80-90	17.26
90-100	0.00
100-110	0.00
110-120	0.00
120-130	0.00
130-140	0.00
140-150	0.00
150-160	0.00
160-170	0.00
170-180	0.00



C0(Max): —————

C0/C180: —————

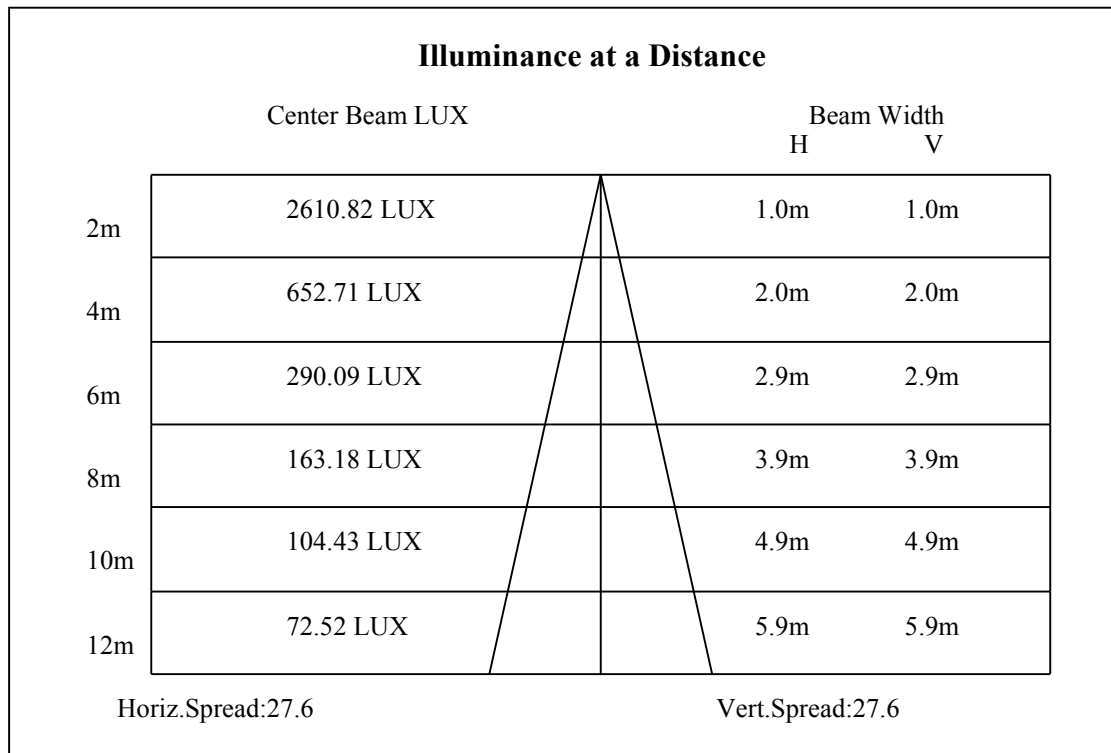
C90/C270: —————

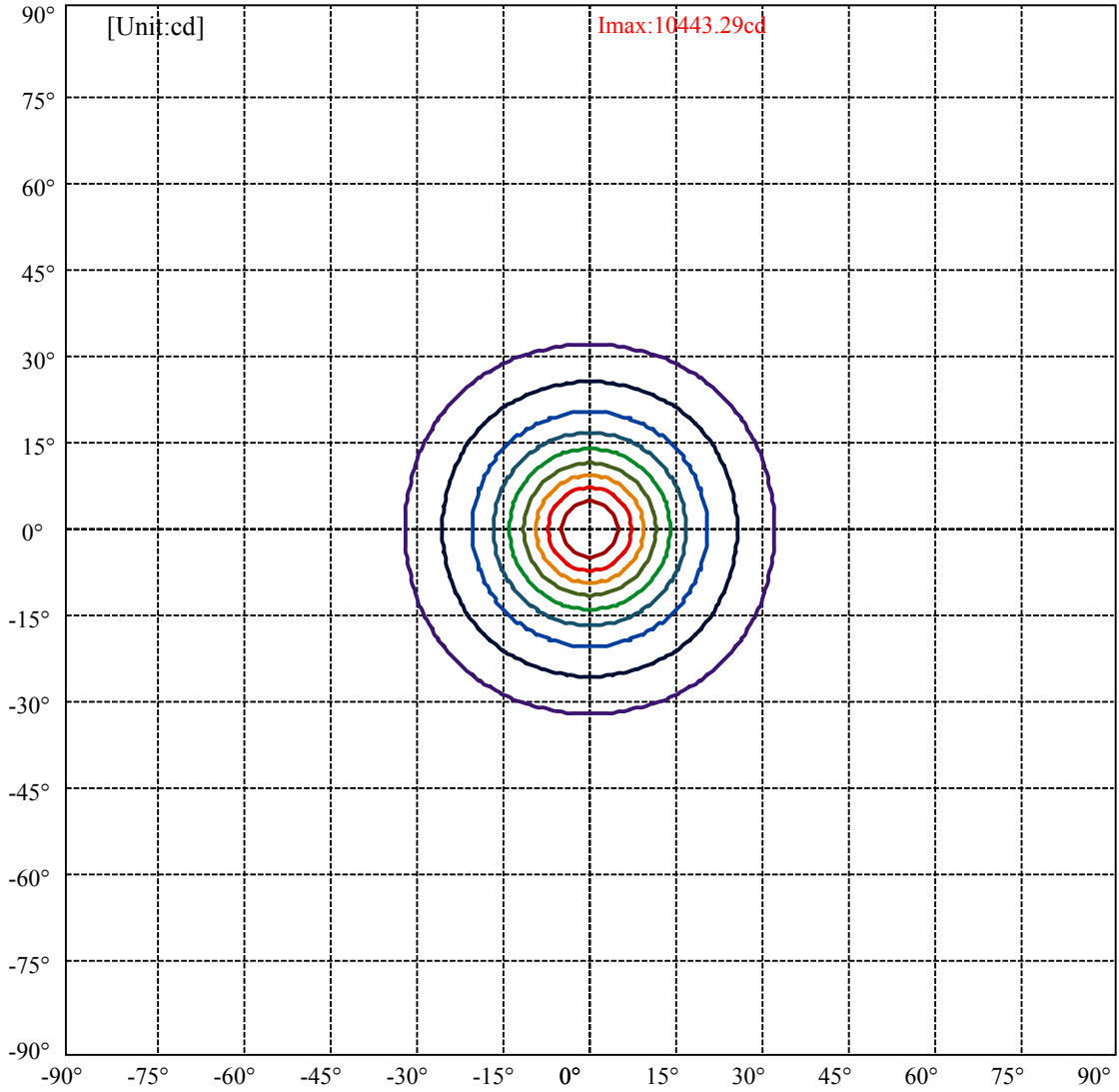
Field angle(10%Imax):C0/180Left:31.7 Right:31.7

:C90/270Left:31.7 Right:31.7

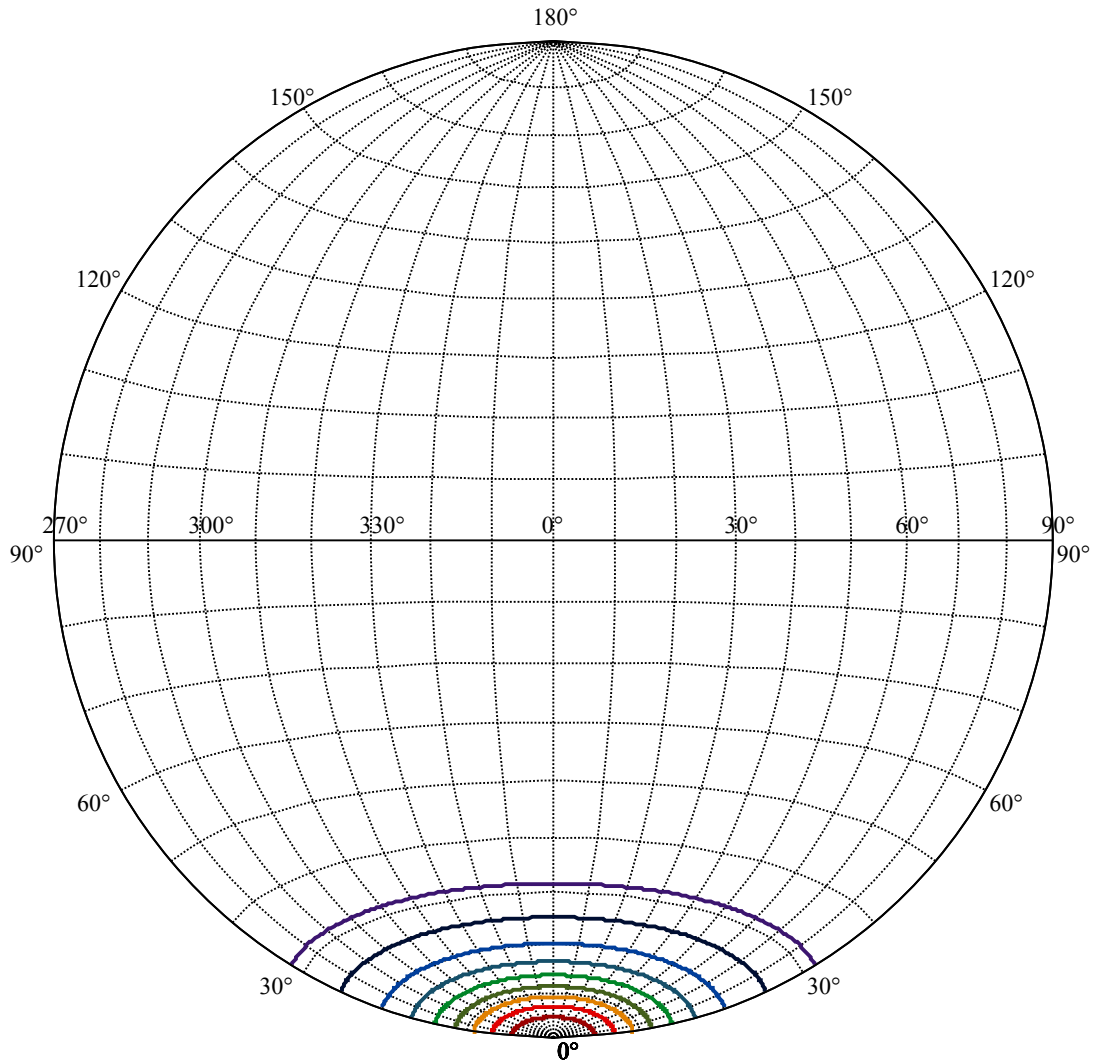
Beam Angle(50%Imax):C0/180Left:13.8 Right:13.8

:C90/270Left:13.8 Right:13.8





(10%Imax) 1044.33	—
(20%Imax) 2088.66	—
(30%Imax) 3132.99	—
(40%Imax) 4177.31	—
(50%Imax) 5221.64	—
(60%Imax) 6265.97	—
(70%Imax) 7310.3	—
(80%Imax) 8354.63	—
(90%Imax) 9398.96	—



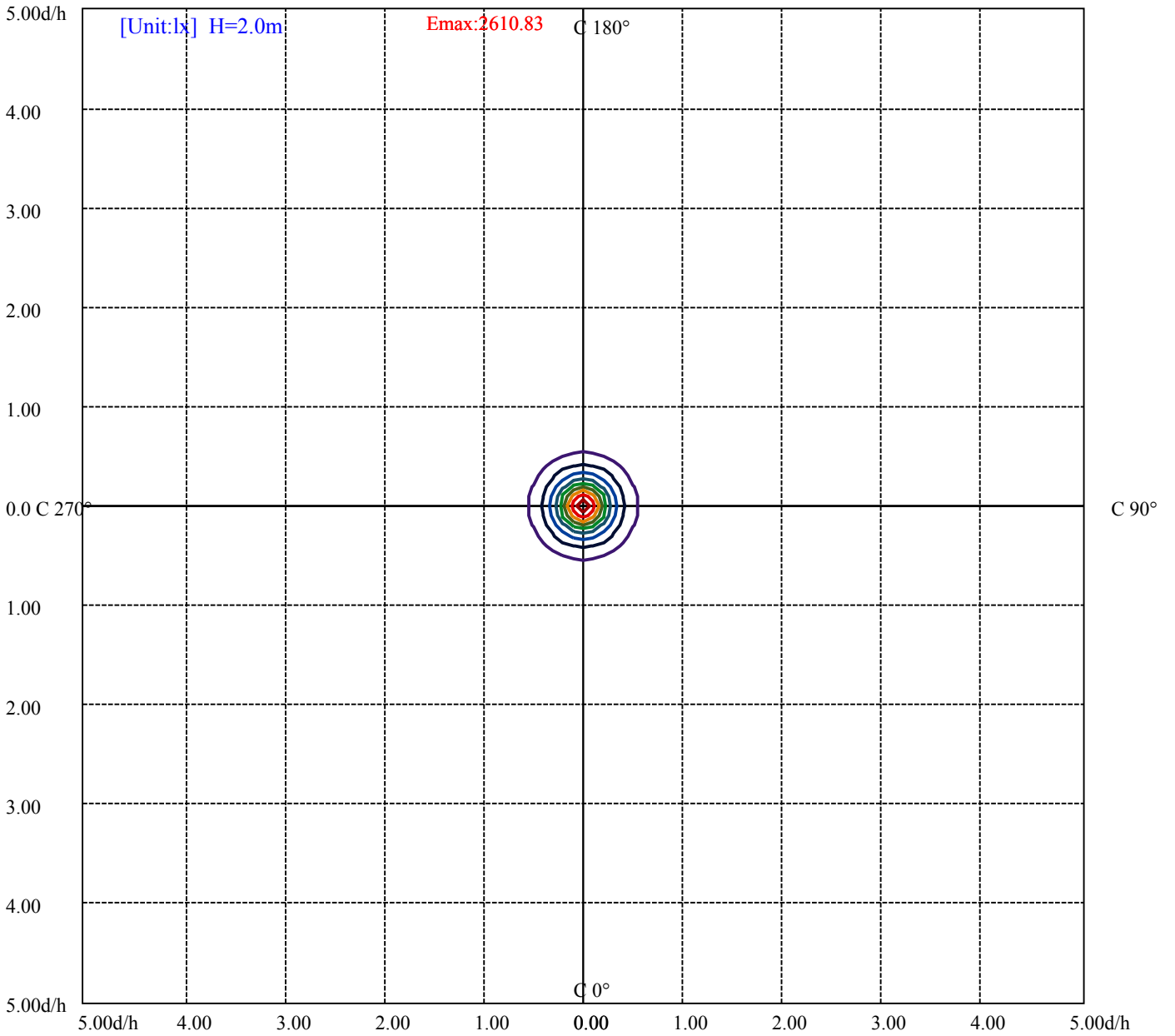
House

[Unit:cd]

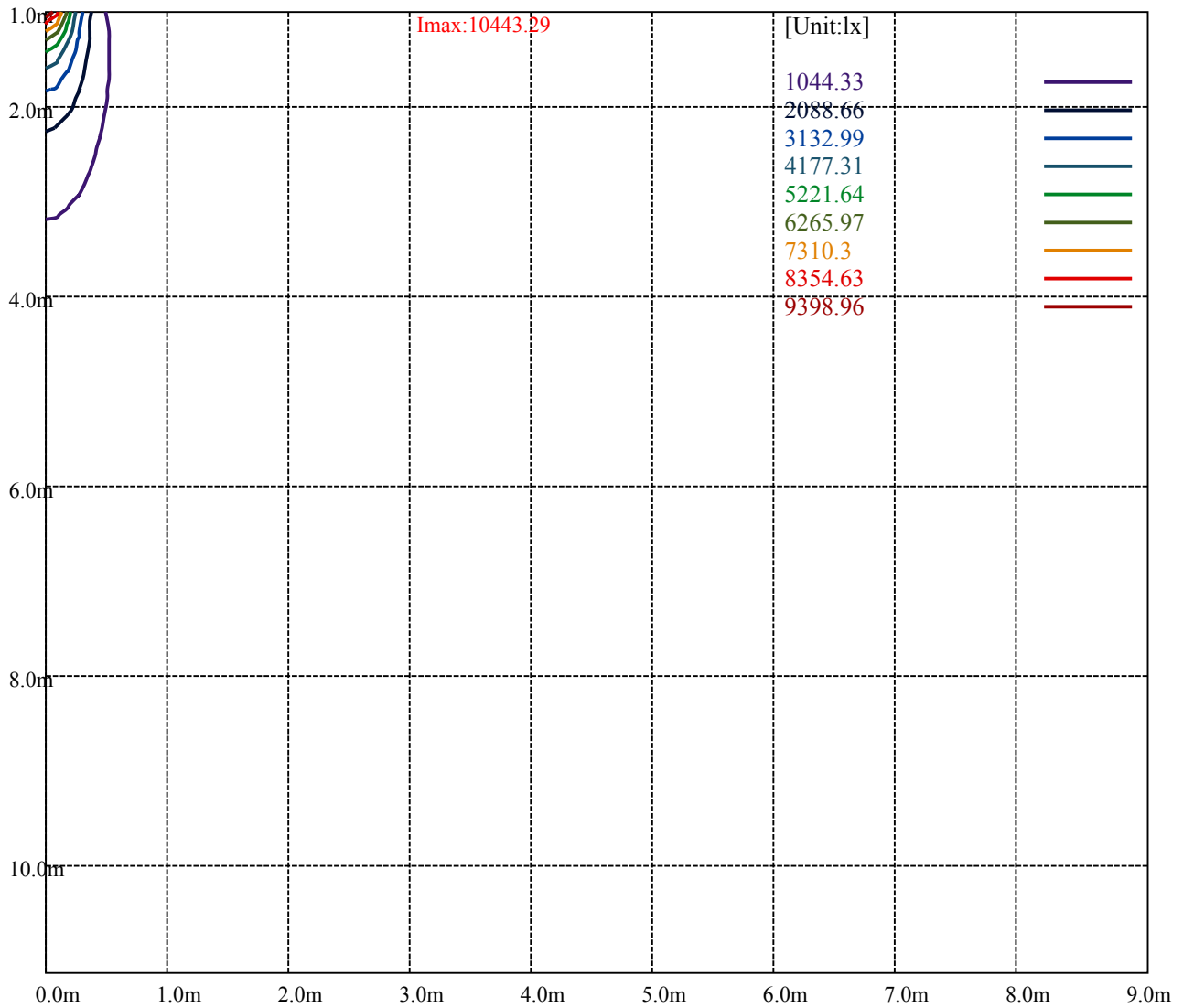
Road

Imax:10443.29

(10%Imax) 1044.33	—
(20%Imax) 2088.66	—
(30%Imax) 3132.99	—
(40%Imax) 4177.31	—
(50%Imax) 5221.64	—
(60%Imax) 6265.97	—
(70%Imax) 7310.3	—
(80%Imax) 8354.63	—
(90%Imax) 9398.96	—



(10%Emax) 261.0825	—
(20%Emax) 522.165	—
(30%Emax) 783.245	—
(40%Emax) 1044.328	—
(50%Emax) 1305.41	—
(60%Emax) 1566.493	—
(70%Emax) 1827.575	—
(80%Emax) 2088.655	—
(90%Emax) 2349.738	—



Luminance Table

γ	45	50	55	60	65	70	75	80	85
C0	0	0	0	0	0	0	0	0	0
C45	0	0	0	0	0	0	0	0	0
C90	0	0	0	0	0	0	0	0	0

L(Hor)(65)	L(Ver)(65)	L45(65)	L(Hor)(75)	L(Ver)(75)	L45(75)	L(Hor)(85)	L(Ver)(85)	L45(85)
0	0	0	0	0	0	0	0	0

Glare Table

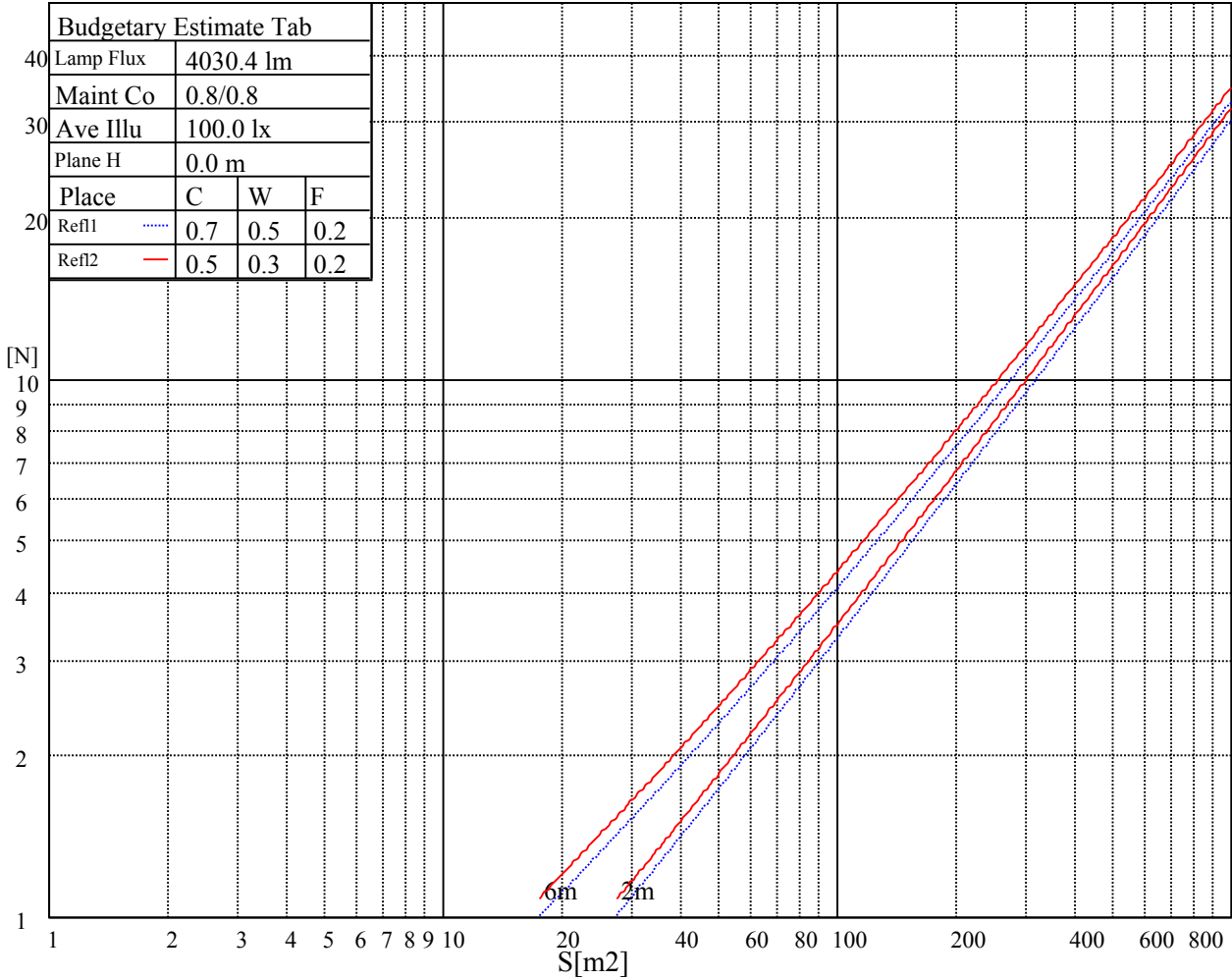
Glare	Quality	Service Values Illuminance(lx)							
1.15	A	2000	1000	500	<=300				
1.5	B		2000	1000	500	<=300			
1.85	C			2000	1000	500	<=300		
2.2	D				2000	1000	500	<=300	
2.55	E					2000	1000	500	<=300
		a	b	c	d	e	f	g	h

Luminance Limiting Curve

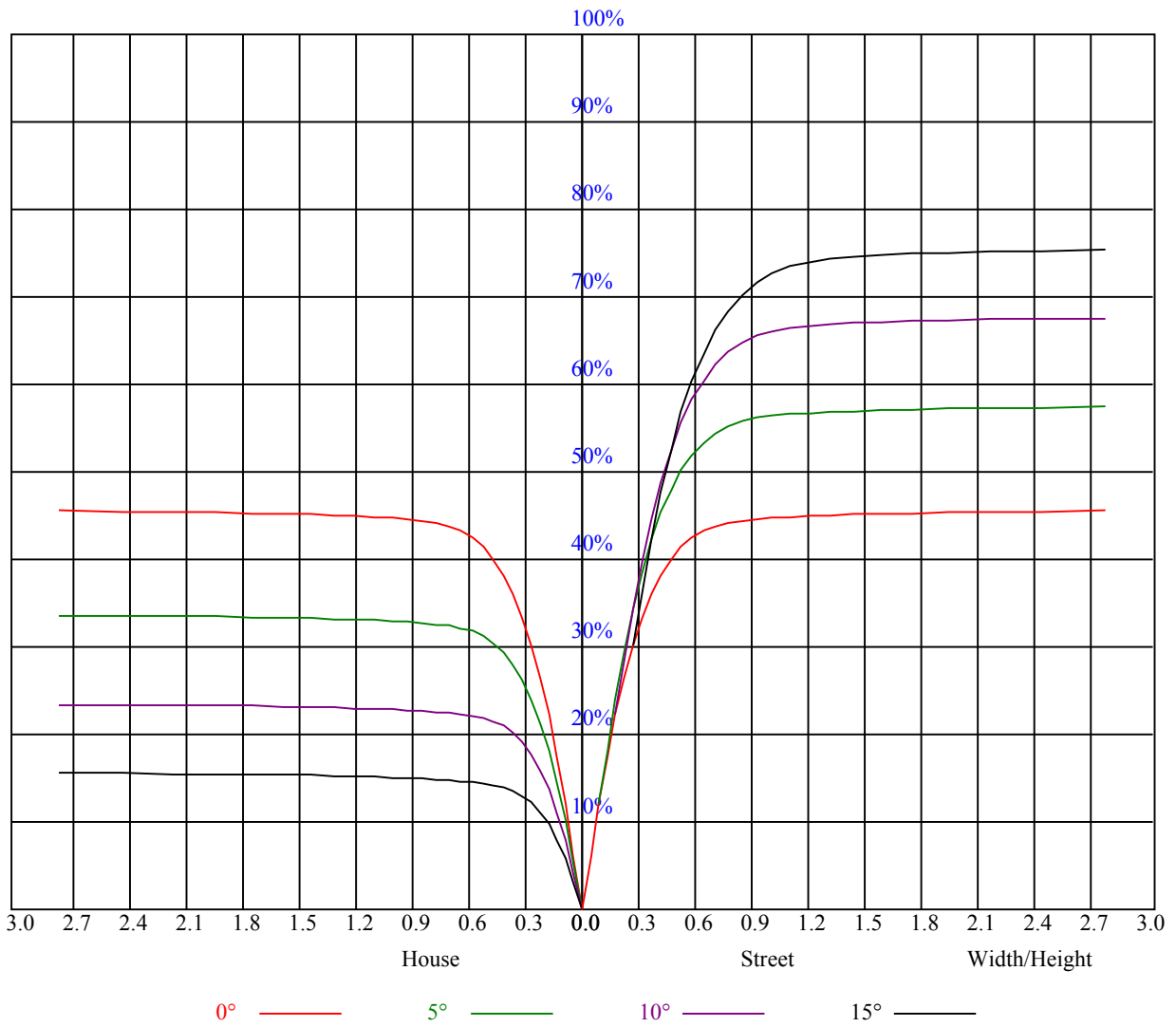


Illumination assessment according UGR											
Rf of Ceiling	70	70	50	50	30	70	70	50	50	30	
Rf of Wall	50	30	50	30	30	50	30	50	30	30	
Rf of Floor	20	20	20	20	20	20	20	20	20	20	
Room dimensions		Viewed crosswise					Viewed endwise				
X	Y										
2H	2H	非数字	非数字	非数字	非数字	非数字	非数字	非数字	非数字	非数字	非数字
	3H	非数字	非数字	非数字	非数字	非数字	非数字	非数字	非数字	非数字	非数字
	4H	非数字	非数字	非数字	非数字	非数字	非数字	非数字	非数字	非数字	非数字
	6H	非数字	非数字	非数字	非数字	非数字	非数字	非数字	非数字	非数字	非数字
	8H	非数字	非数字	非数字	非数字	非数字	非数字	非数字	非数字	非数字	非数字
4H	12H	非数字	非数字	非数字	非数字	非数字	非数字	非数字	非数字	非数字	非数字
	2H	非数字	非数字	非数字	非数字	非数字	非数字	非数字	非数字	非数字	非数字
	3H	非数字	非数字	非数字	非数字	非数字	非数字	非数字	非数字	非数字	非数字
	4H	非数字	非数字	非数字	非数字	非数字	非数字	非数字	非数字	非数字	非数字
	6H	非数字	非数字	非数字	非数字	非数字	非数字	非数字	非数字	非数字	非数字
8H	8H	非数字	非数字	非数字	非数字	非数字	非数字	非数字	非数字	非数字	非数字
	12H	非数字	非数字	非数字	非数字	非数字	非数字	非数字	非数字	非数字	非数字
	4H	非数字	非数字	非数字	非数字	非数字	非数字	非数字	非数字	非数字	非数字
	6H	非数字	非数字	非数字	非数字	非数字	非数字	非数字	非数字	非数字	非数字
	8H	非数字	非数字	非数字	非数字	非数字	非数字	非数字	非数字	非数字	非数字
12H	12H	非数字	非数字	非数字	非数字	非数字	非数字	非数字	非数字	非数字	非数字
	4H	非数字	非数字	非数字	非数字	非数字	非数字	非数字	非数字	非数字	非数字
	6H	非数字	非数字	非数字	非数字	非数字	非数字	非数字	非数字	非数字	非数字
8H	非数字	非数字	非数字	非数字	非数字	非数字	非数字	非数字	非数字	非数字	
Variation with the observer position at spacings:											
S = 1.0H		非数字/非数字					非数字/非数字				
S = 1.5H		非数字/非数字					非数字/非数字				
S = 2.0H		非数字/非数字					非数字/非数字				
Standard tables:		BK0					BK0				
Uncorrected UGR		负无穷大					负无穷大				

UGR calculation is based on CIE Publ. 117 ,S/H = 0.25



RHOCC	80			70			50			30			10			0
RHOW	50	30	10	50	30	10	50	30	10	50	30	10	50	30	10	0
RCR	COEFFICIENTS OF UTILIZATION RHOFC=20 CU															
0	1.09	1.09	1.09	1.07	1.07	1.07	1.02	1.02	1.02	0.98	0.98	0.98	0.94	0.94	0.94	0.92
1	1.02	1.00	0.98	1.00	0.98	0.97	0.96	0.95	0.94	0.93	0.92	0.91	0.90	0.89	0.88	0.87
2	0.96	0.93	0.90	0.94	0.91	0.89	0.91	0.89	0.87	0.89	0.87	0.85	0.86	0.85	0.83	0.82
3	0.91	0.86	0.83	0.89	0.86	0.83	0.87	0.84	0.81	0.85	0.82	0.80	0.83	0.81	0.79	0.77
4	0.86	0.81	0.78	0.85	0.81	0.77	0.83	0.79	0.76	0.81	0.78	0.76	0.79	0.77	0.75	0.73
5	0.81	0.77	0.73	0.81	0.76	0.73	0.79	0.75	0.72	0.78	0.74	0.72	0.76	0.73	0.71	0.70
6	0.78	0.73	0.69	0.77	0.72	0.69	0.76	0.72	0.69	0.74	0.71	0.68	0.73	0.70	0.68	0.67
7	0.74	0.69	0.66	0.74	0.69	0.66	0.72	0.68	0.65	0.71	0.68	0.65	0.70	0.67	0.65	0.64
8	0.71	0.66	0.63	0.70	0.66	0.63	0.69	0.65	0.63	0.69	0.65	0.62	0.68	0.64	0.62	0.61
9	0.68	0.63	0.60	0.68	0.63	0.60	0.67	0.63	0.60	0.66	0.62	0.60	0.65	0.62	0.59	0.58
10	0.65	0.61	0.58	0.65	0.61	0.58	0.64	0.60	0.57	0.64	0.60	0.57	0.63	0.60	0.57	0.56



Intensity data(cd)

C/γ(°)	0.0	1.0	2.0	3.0	4.0	5.0	6.0	7.0	8.0
0.0	10397.07	10222.70	9891.13	9607.72	9243.50	8719.85	8275.36	7817.04	7334.35
45.0	10455.19	10426.40	10280.82	9974.72	9705.70	9346.46	8932.96	8386.07	7918.89
90.0	10448.55	10213.85	9981.36	9724.52	9366.94	8957.87	8408.77	7938.81	7446.72
135.0	10472.35	10476.22	10268.65	10048.89	9711.24	9361.95	8940.16	8392.16	7921.65
180.0	10397.07	10452.97	10443.01	10303.52	10046.12	9798.69	9467.13	9073.01	8520.03
225.0	10455.19	10426.96	10252.59	10036.16	9714.00	9384.65	8965.07	8401.57	7923.31
270.0	10448.55	10467.92	10429.73	10305.18	10017.89	9751.64	9359.19	8957.87	8512.83
315.0	10472.35	10419.21	10242.63	9978.04	9686.88	9358.63	8949.02	8397.14	7931.62
360.0	10397.07	10222.70	9891.13	9607.72	9243.50	8719.85	8275.36	7817.04	7334.35
C/γ(°)	9.0	10.0	11.0	12.0	13.0	14.0	15.0	16.0	17.0
0.0	6719.37	6283.19	5875.23	5468.94	4995.66	4631.99	4282.71	3908.52	3625.66
45.0	7435.65	6941.34	6428.77	6013.06	5494.40	5117.44	4748.79	4326.99	4009.81
90.0	6837.83	6421.02	6014.72	5510.45	5125.74	4664.09	4343.60	4030.30	3753.53
135.0	7442.29	6950.75	6527.30	6023.03	5602.34	5217.63	4765.94	4423.31	4111.11
180.0	8043.43	7554.66	7083.60	6530.06	6109.38	5679.28	5192.72	4804.14	4463.71
225.0	7431.77	6930.82	6376.18	5959.37	5539.79	5159.51	4696.20	4354.11	4023.65
270.0	7922.76	7450.59	6956.29	6361.79	5925.60	5513.22	5135.71	4661.88	4316.47
315.0	7447.83	6954.07	6332.45	5914.53	5413.58	5033.86	4679.04	4251.71	3943.94
360.0	6719.37	6283.19	5875.23	5468.94	4995.66	4631.99	4282.71	3908.52	3625.66
C/γ(°)	18.0	19.0	20.0	21.0	22.0	23.0	24.0	25.0	26.0
0.0	3374.91	3079.32	2861.78	2664.72	2435.00	2263.41	2095.69	1940.14	1743.64
45.0	3731.39	3470.12	3173.42	2952.01	2744.43	2564.53	2341.46	2180.38	2018.75
90.0	3436.35	3200.55	2984.67	2732.25	2553.46	2381.31	2214.14	2057.49	1865.97
135.0	3758.51	3498.90	3199.44	2976.36	2771.00	2581.69	2361.38	2194.22	2028.16
180.0	4058.53	3765.71	3506.65	3190.03	2942.04	2741.66	2550.14	2318.21	2154.36
225.0	3651.12	3381.55	3125.26	2834.66	2630.40	2397.36	2226.32	2063.58	1912.47
270.0	3990.99	3695.41	3368.82	3107.00	2820.82	2616.01	2431.68	2224.11	2063.58
315.0	3658.87	3327.30	3087.07	2866.21	2664.17	2431.68	2261.19	2097.35	1941.80
360.0	3374.91	3079.32	2861.78	2664.72	2435.00	2263.41	2095.69	1940.14	1743.64
C/γ(°)	27.0	28.0	29.0	30.0	31.0	32.0	33.0	34.0	35.0
0.0	1589.20	1437.53	1100.21	1100.21	958.23	822.33	670.61	564.61	443.77
45.0	1825.01	1671.13	1523.33	1336.79	1184.01	1003.56	863.52	737.31	623.28
90.0	1709.87	1515.03	1097.44	1097.44	1025.26	884.88	754.80	637.29	504.66
135.0	1871.51	1679.43	1528.87	1379.41	1193.42	1047.29	906.69	748.38	637.67
180.0	1994.39	1838.29	1652.30	1502.85	1315.76	1167.96	1021.83	851.89	728.45
225.0	1728.14	1585.88	1438.64	1073.53	1073.53	970.35	839.66	721.76	591.07
270.0	1914.13	1760.80	1578.68	1429.78	1282.54	1133.64	955.96	825.32	706.87
315.0	1746.41	1594.74	1441.41	1103.03	1103.03	962.05	799.36	682.62	578.28
360.0	1589.20	1437.53	1100.21	1100.21	958.23	822.33	670.61	564.61	443.77
C/γ(°)	36.0	37.0	38.0	39.0	40.0	41.0	42.0	43.0	44.0
0.0	364.84	297.53	241.84	189.14	157.20	133.57	115.52	98.97	88.90
45.0	493.20	402.42	324.93	291.71	291.71	162.13	136.72	117.63	99.97
90.0	413.10	334.39	268.19	204.75	167.22	139.33	114.14	99.86	88.73
135.0	535.27	419.58	341.53	290.05	290.05	168.94	141.71	120.78	105.12
180.0	617.19	516.45	405.74	330.46	282.86	282.86	166.06	138.83	118.62
225.0	496.08	410.67	319.11	259.28	200.88	165.51	139.27	119.45	101.57
270.0	574.57	479.92	395.78	306.11	290.05	223.30	154.05	129.91	111.98
315.0	460.60	379.95	310.15	251.91	194.57	160.30	134.90	112.26	99.30
360.0	364.84	297.53	241.84	189.14	157.20	133.57	115.52	98.97	88.90

Intensity data(cd)

C/γ(°)	45.0	46.0	47.0	48.0	49.0	50.0	51.0	52.0	53.0
0.0	80.93	74.34	67.92	63.88	59.84	57.35	55.46	53.64	52.48
45.0	89.45	79.32	72.85	67.64	62.44	59.34	56.74	54.86	52.97
90.0	78.33	71.85	65.59	61.77	58.62	56.02	53.69	52.25	51.20
135.0	90.61	81.98	74.95	69.36	63.71	60.17	56.79	54.86	53.19
180.0	100.69	89.89	81.48	73.12	67.92	63.88	59.73	57.18	55.24
225.0	90.84	82.42	75.56	68.86	64.65	61.22	57.90	55.85	54.30
270.0	98.86	86.46	78.82	72.62	67.70	62.83	59.78	57.29	55.08
315.0	89.23	81.26	73.34	68.36	64.32	60.34	57.79	55.41	53.86
360.0	80.93	74.34	67.92	63.88	59.84	57.35	55.46	53.64	52.48
C/γ(°)	54.0	55.0	56.0	57.0	58.0	59.0	60.0	61.0	62.0
0.0	51.42	50.48	49.49	48.43	47.49	45.67	43.73	41.85	39.85
45.0	51.87	50.93	50.21	49.21	48.32	47.44	45.83	44.06	42.29
90.0	50.21	49.21	48.49	47.66	46.72	45.22	43.67	41.52	39.63
135.0	51.76	50.93	50.10	49.21	48.32	47.49	46.16	44.06	42.35
180.0	53.42	52.31	51.48	50.76	49.98	49.15	48.43	47.38	45.33
225.0	52.75	51.81	51.04	50.15	49.32	48.38	47.33	45.11	43.29
270.0	53.64	52.42	51.31	50.70	49.82	48.99	48.16	47.05	44.89
315.0	52.70	51.64	50.65	49.87	48.93	48.05	46.88	44.67	42.90
360.0	51.42	50.48	49.49	48.43	47.49	45.67	43.73	41.85	39.85
C/γ(°)	63.0	64.0	65.0	66.0	67.0	68.0	69.0	70.0	71.0
0.0	37.31	35.15	33.16	31.05	29.50	27.84	26.90	26.07	25.24
45.0	39.74	37.70	35.65	33.21	31.50	29.84	28.51	27.23	26.40
90.0	37.70	35.15	33.16	31.55	29.89	28.12	27.12	26.24	25.46
135.0	40.19	38.14	35.76	33.71	31.94	29.84	28.45	27.23	26.35
180.0	43.45	41.40	38.75	36.64	33.93	32.05	30.44	29.01	27.57
225.0	41.29	38.58	36.48	34.26	32.33	30.33	28.84	27.46	26.57
270.0	43.07	41.02	38.80	36.70	33.93	32.11	30.39	28.51	27.34
315.0	40.30	38.14	35.98	33.38	31.66	30.06	28.29	27.23	26.35
360.0	37.31	35.15	33.16	31.05	29.50	27.84	26.90	26.07	25.24
C/γ(°)	72.0	73.0	74.0	75.0	76.0	77.0	78.0	79.0	80.0
0.0	24.36	23.69	23.03	22.42	21.64	21.03	20.48	19.98	19.26
45.0	25.63	24.85	23.97	23.30	22.69	21.86	21.26	20.54	19.98
90.0	24.52	23.86	23.19	22.42	21.81	21.20	20.43	19.87	19.21
135.0	25.57	24.85	23.97	23.30	22.69	22.03	21.26	20.70	20.15
180.0	26.63	25.79	25.02	24.13	23.47	22.81	21.98	21.37	20.76
225.0	25.68	24.74	24.02	23.30	22.64	21.86	21.20	20.59	20.04
270.0	26.24	25.41	24.58	23.69	22.97	22.36	21.75	20.98	20.37
315.0	25.52	24.58	23.86	23.19	22.53	21.75	21.15	20.59	19.87
360.0	24.36	23.69	23.03	22.42	21.64	21.03	20.48	19.98	19.26
C/γ(°)	81.0	82.0	83.0	84.0	85.0	86.0	87.0	88.0	89.0
0.0	18.76	18.21	17.71	17.27	16.83	16.44	16.11	15.67	15.55
45.0	19.37	18.76	18.21	17.77	17.27	16.83	16.38	16.00	15.55
90.0	18.65	18.27	17.77	17.21	16.83	16.44	16.05	15.61	15.44
135.0	19.37	18.82	18.16	17.71	17.21	16.77	16.38	16.00	15.55
180.0	20.20	19.48	18.76	18.27	17.71	17.21	16.83	16.38	16.00
225.0	19.32	18.76	18.21	17.66	17.27	16.83	16.44	16.05	15.61
270.0	19.87	19.15	18.60	18.05	17.49	17.05	16.72	16.27	15.83
315.0	19.32	18.76	18.21	17.77	17.27	16.88	16.50	16.11	15.67
360.0	18.76	18.21	17.71	17.27	16.83	16.44	16.11	15.67	15.55

Intensity data(cd)

C/ γ ($^{\circ}$)	90.0
0.0	15.55
45.0	15.50
90.0	15.50
135.0	15.50
180.0	15.55
225.0	15.44
270.0	15.44
315.0	15.50
360.0	15.55